

# Les Odonates de Guyane française

## II. Les Libellulidae : clé des genres (Odonata, Anisoptera)

par Michel PAPAIZIAN

Le Constellation Bât. A, 72 Avenue des Caillols, F-13012 Marseille

**Mots clés** : ODONATA, LIBELLULIDAE, SYSTEMATIQUE, GUYANE FRANÇAISE.

**Key-words** : ODONATA, LIBELLULIDAE, SYSTEMATIC, FRENCH GUYANA.

**Résumé** : Une clé de détermination des 27 genres de la famille des Libellulidae actuellement connus de Guyane française est proposée. Cette clé s'appuie principalement sur les travaux de BORROR (1945).

**Summary** : **The Odonata of french Guyana II. Libellulidae : a key of the genera.**

A key is proposed for the 27 genera of Libellulidae known today in french Guyana, derived from BORROR (1945).

---

La liste des espèces d'Odonates connues de Guyane française proposée par DOMMANGET et PAPAIZIAN (2000) a permis de constater que, d'une part, une synthèse des connaissances faunistiques d'une région proche de l'équateur s'avère rapidement dépassée (PAPAIZIAN et DUQUEF, 2002) et que, d'autre part, la famille des Libellulidae est la mieux représentée dans ce département d'Outre-Mer.

La clé proposée pour la détermination des genres de cette grande famille prend en compte uniquement les 27 genres connus à ce jour de Guyane française. L'introduction de ceux susceptibles d'y être rencontrés aurait nécessité un choix selon des critères tout à fait aléatoires. Par contre, la découverte de nouveaux genres entraînera indubitablement un complément à cette première clé.

Celle-ci est essentiellement dérivée du travail de BORROR (1945), consacré à l'ensemble des genres de Libellulidae du Nouveau Monde, complété des récents apports taxinomiques de WESTFALL (1988), relatifs au genre *Elasmothemis*. Une des principales qualités de la clé de BORROR (1945) était de prendre en compte l'ensemble des variations morphologiques intragénériques ainsi que les variations pouvant apparaître occasionnellement chez un individu, notamment dans la nervation alaire. C'est ce besoin d'adéquation qui donne à la clé cet aspect redondant.

Par souci de continuité, la nomenclature alaire utilisée (système Tillyard-Fraser) est celle qui a été choisie pour la clé d'identification des Odonates de Guadeloupe,

Dominique et Martinique (DONNELLY, 2000), à laquelle pourrait éventuellement se reporter le lecteur rencontrant des difficultés au niveau des éléments de diagnose.

Liste des genres de la famille des Libellulidae connus de Guyane française :

<i>Anatya</i> Kirby, 1889	<i>Argyrothemis</i> Ris, 1911
<i>Brachymesia</i> Kirby, 1889	<i>Dasythemis</i> Karsch, 1889
<i>Diastatops</i> Rambur, 1842	<i>Dythemis</i> Hagen, 1861
<i>Elasmothemis</i> Westfall, 1988	<i>Elga</i> Ris, 1911
<i>Erythemis</i> Hagen, 1861	<i>Erythrodiplax</i> Brauer, 1868
<i>Fylgia</i> Kirby, 1889	<i>Idiataphe</i> Cowley, 1934
<i>Libellula</i> L., 1758	<i>Macrothemis</i> Hagen, 1868
<i>Micrathyria</i> Kirby, 1889	<i>Misagria</i> Kirby, 1889
<i>Nephepeltia</i> Kirby, 1889	<i>Oligoclada</i> Karsch, 1890
<i>Orthemis</i> Hagen, 1861	<i>Pantala</i> Hagen, 1861
<i>Perithemis</i> Hagen, 1861	<i>Rhodopygia</i> Kirby, 1889
<i>Tauriphila</i> Kirby, 1889	<i>Tholymis</i> Hagen, 1867
<i>Tramea</i> Hagen, 1861	<i>Uracis</i> Rambur, 1842
<i>Zenithoptera</i> Séllys, 1869	

L'ensemble des figures est inspiré de BORROR (1945), excepté la figure 1 (NEEDHAM & WESTFALL, 1955) et les figures 17 et 18 (WESTFALL, 1988).

### Caractéristiques générales des Libellulidae

Les Libellulidae possèdent des caractéristiques morphologiques aisément repérables. Les yeux sont contigus (excepté chez le genre *Diastatops*) et dépourvus d'indentation prononcée sur leur marge postérieure. La cellule discoïdale est transverse aux ailes antérieures et longitudinale aux ailes postérieures. La boucle anale est en général bien développée, la base de l'aile postérieure étant très souvent élargie. Les mâles ne possèdent pas d'oreillettes sur le deuxième segment abdominal et les ailes postérieures n'ont pas d'angle anal. Mâles et femelles ont donc des ailes de forme semblable. Les ailes sont souvent colorées (noir, brun, orange, blanc laiteux, ...) avec parfois des reflets métalliques. La taille des Libellulidae néotropicaux est extrêmement variable. Les grandes espèces peuvent dépasser 100 mm d'envergure, les plus petites n'excédant pas 30 mm.

### Clé des genres :

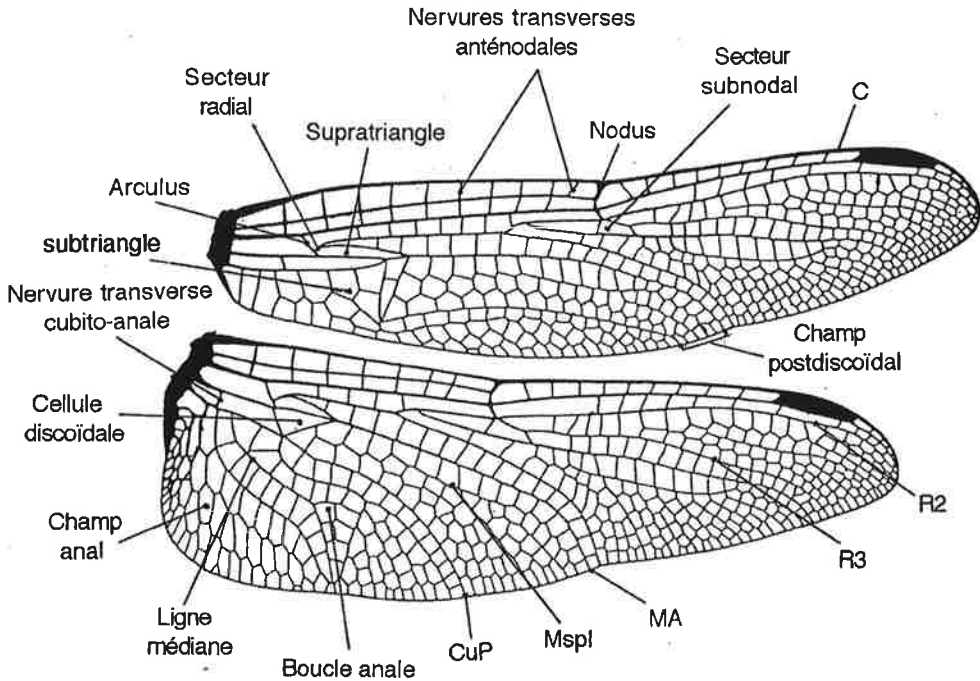
1 Boucle anale indistincte (fig.10). .....	<i>Argyrothemis</i>
1' Boucle anale développée (fig. 1). .....	2
2 (1') Nervure costale (C) de l'aile antérieure sinueuse entre la base et le nodus (fig.2). .....	3
2' Nervure costale (C) de l'aile antérieure non sinueuse entre la base et le nodus (fig.1). .....	4

3 (2) Yeux séparés, supratriangle avec des nervures transverses. .... *Diastatops*  
 3' Yeux contigus, supratriangle libre. .... *Zenithoptera*

4 (2') Dernière anténodale de l'aile antérieure complète. .... 5  
 4' Dernière anténodale de l'aile antérieure incomplète. .... 35

5 (4) Une seule nervure transverse dans le secteur subnodal. .... 6  
 5' Au moins deux nervures transverses dans le secteur subnodal. .... 23

6 (5) Arculus, à l'aile postérieure, entre la première et la deuxième nervure transverse anténodale. .... 7  
 6' Arculus, à l'aile postérieure, au niveau ou au-delà de la deuxième nervure transverse anténodale. .... 21

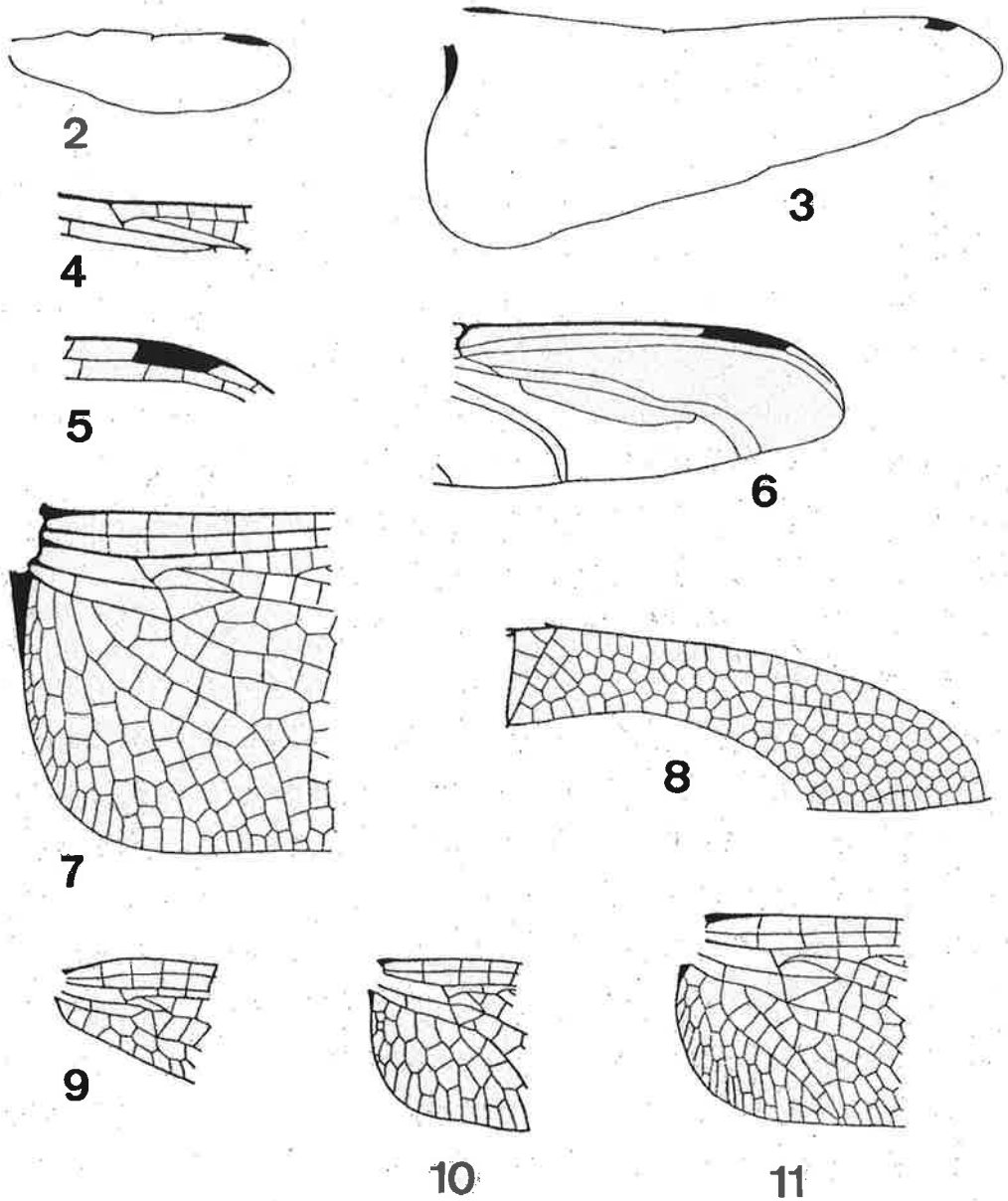


1

Figure 1. *Brachymesia* : ailes antérieure et postérieure.

7 (6) Nervure R3 sinueuse (fig.6). .... 8  
 7' Nervure R3 non sinueuse (fig.1). .... 11

- 8 (7) Secteur radial, à l'aile antérieure, soudé juste à sa naissance (fig.1). Champ postdiscoïdal de l'aile antérieure élargi à son extrémité (fig.8). ..... *Libellula*
- 8' Secteur radial, à l'aile antérieure, longuement soudé après sa naissance (fig.4). Champ postdiscoïdal de l'aile antérieure à bords parallèles ou légèrement convergents (fig. 1). ..... 9
- 9 (8') Hamuli du ♂ en deux parties bien distinctes (fig.15) ; ♀ avec une expansion foliacée au 8<sup>e</sup> segment abdominal (fig.14). ..... *Orthemis*
- 9' Hamuli du ♂ en une seule partie (fig. 18) ; ♀ sans expansion foliacée au 8<sup>e</sup> segment abdominal. .... 10
- 10 (9') ♂ : lame antérieure plus courte que le lobe génital (fig.17). ♀ : lame vulvaire aussi longue que le 8<sup>e</sup> segment abdominal et à extrémité bilobée. ...  
..... *Dythemis*
- 10' ♂ : lame antérieure plus grande que le lobe génital (fig.18). ♀ : lame vulvaire plus courte que le 8<sup>e</sup> segment abdominal et à extrémité entière.  
..... *Elasmothermis*
- 11 (7') Nervure CuP, à l'aile postérieure, naissant à l'angle anal de la cellule discoïdale. .... 12
- 11' Nervure CuP, à l'aile postérieure, séparée de l'angle anal de la cellule discoïdale. .... 17
- 12 (11) Cellule discoïdale libre à l'aile antérieure. .... 13
- 12' Cellule discoïdale avec des nervures transverses à l'aile antérieure. .... 15
- 13 (12) Lobe postérieur du prothorax resserré à la base, dressé, avec une frange de longs poils (fig.19). .... 14
- 13' Lobe postérieur du prothorax non resserré à la base, non dressé, sans frange de longs poils (fig.20). ..... *Erythrodiplax*
- 14 (13) Ligne médiane de la boucle anale, à l'aile postérieure, présentant un angle (fig.1). .... 84
- 14' Ligne médiane de la boucle anale, à l'aile postérieure, ne présentant pas d'angle, ou bien presque droite (fig.11). ..... *Perithemis*
- 15 (12') Lobe postérieur du prothorax resserré à la base, dressé, avec une frange de longs poils (fig.19). .... 16
- 15' Lobe postérieur du prothorax non resserré à la base, non dressé, sans frange de longs poils (fig.20). .... 28



**Figures 2-11 :** 2. *Zenithoptera* : aile antérieure ; 3. *Tramea* : aile postérieure ; 4. *Orthemis* : secteur radial soudé à sa naissance ; 5. *Tramea* : ptérostigma à extrémités non parallèles ; 6. *Libellula* : nervure R3 sinueuse ; 7. *Tholymis* : boucle anale ouverte et en contact avec le bord de l'aile ; 8. *Libellula* : champ postdiscoïdal qui s'élargit ; 9. *Nannothemis* : cellule discoïdale à bord costal "cassé" ; 10. *Nannothemis* : boucle anale indistincte ; 11. *Perithemis* : ligne médiane de la boucle anale droite.

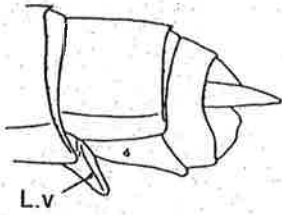
- 16** (15) Champ postdiscoïdal de 2 ou 3 rangs de cellules à l'aile antérieure. Extrémités du ptérostigma parallèles (fig. 1). Base de l'aile postérieure normale (fig.1). ..... *Erythrodiplax*
- 16'** Champ postdiscoïdal de 4 rangs de cellules à l'aile antérieure. Extrémités du ptérostigma non parallèles (fig. 5). Base de l'aile postérieure très élargie (fig.3). ..... *Tramea*
- 17** (11') Lobe postérieur du prothorax resserré à la base, dressé, avec une frange de longs poils (fig.19). ..... **18**
- 17'** Lobe postérieur du prothorax non resserré à la base, non dressé, sans frange de longs poils (fig.20). ..... **20**
- 18** (17) Cellule discoïdale de l'aile antérieure libre. .... **19**
- 18'** Cellule discoïdale de l'aile antérieure avec des nervures transverses. .... **84**
- 19** (18) Hamuli du ♂ en deux parties bien distinctes (fig.15). ..... *Erythrodiplax*
- 19'** Hamuli du ♂ en une seule partie (fig.18). ..... *Oligoclada*
- 20** (17') ♂ : branche interne des hamuli aussi grande ou plus grande que la branche externe (fig.16). ♀ : lame vulvaire petite, au plus un tiers de la longueur du 9<sup>e</sup> segment abdominal, à extrémité bilobée. 10<sup>e</sup> segment abdominal prolongé ventralement à son extrémité (fig.13). ..... *Dasythemis*
- 20'** ♂ : branche interne des hamuli plus petite que la branche externe (fig.15). ♀ : lame vulvaire grande, au moins un tiers de la longueur du 9<sup>e</sup> segment abdominal, à extrémité entière. 10<sup>e</sup> segment abdominal non prolongé (fig.12). ... ..... *Erythrodiplax*
- 21** (6') Nervure R3 non sinueuse (fig.1). ..... **22**
- 21'** Nervure R3 sinueuse (fig.6). ..... **24**
- 22** (21) Deux ou plus de deux nervures transverses cubito-anales, à l'aile postérieure. .... **29**
- 22'** Une seule nervure transverse cubito-anale, à l'aile postérieure. .... **30**
- 23** (5') Nervure R3 sinueuse (fig.6). ..... **24**
- 23'** Nervure R3 non sinueuse (fig.1). ..... **25**

- 24 (21', 23) Secteur radial, à l'aile antérieure, longuement soudé après sa naissance (fig.4). Champ postdiscoïdal de l'aile antérieure à bords parallèles ou légèrement convergents à son extrémité (fig. 1). Une seule nervure transverse cubito-anale à l'aile postérieure. .... *Orthemis*
- 24' Secteur radial, à l'aile antérieure, soudé juste à sa naissance (fig.1). Champ postdiscoïdal de l'aile antérieure élargi à son extrémité (fig.8). Deux ou plus de deux nervures transverses cubito-anales à l'aile postérieure. .... *Libellula*
- 25 (23') Arculus, à l'aile postérieure, entre la 1<sup>ère</sup> et la 2<sup>e</sup> nervure transverse anténodale. .... 26
- 25' Arculus, à l'aile postérieure, au niveau ou au-delà de la 2<sup>e</sup> nervure transverse anténodale. .... *Misagria*
- 26 (25) Cellule discoïdale libre à l'aile antérieure. .... 27
- 26' Cellule discoïdale avec des nervures transverses à l'aile antérieure. .... 28
- 27 (26) Côté costal de la cellule discoïdale "cassé" à l'aile antérieure. Champ postdiscoïdal d'un seul rang de cellules à l'aile antérieure (fig.9). ....  
... .. *Nephepeltia*
- 27' Côté costal de la cellule discoïdale droit à l'aile antérieure (fig.1). Champ postdiscoïdal de deux ou trois rangs de cellules à l'aile antérieure. .... 68
- 28 (15', 26') Ligne médiane de la boucle anale, à l'aile postérieure, présentant un angle (fig.1). .... 84
- 28' Ligne médiane de la boucle anale, à l'aile postérieure, ne présentant pas d'angle, ou bien presque droite (fig.11). .... *Perithemis*
- 29 (22) Longueur de l'aile postérieure comprise entre 20 et 26 mm. .... 30
- 29' Longueur de l'aile postérieure comprise entre 29 et 35 mm. .... *Misagria*
- 30 (29) ♂. .... 31
- 30' ♀. .... 33
- 31 (30) Hamuli en deux parties bien distinctes (fig.15). Champ postdiscoïdal de un ou trois rangs de cellules à l'aile antérieure. .... 32
- 31' Hamuli en une seule partie (fig.18). Champ postdiscoïdal d'un seul rang de cellules à l'aile antérieure. .... *Elga*

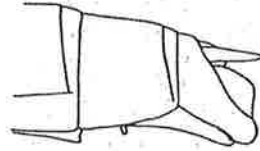
- 32** (31) Branche interne des hamuli aussi grande ou plus grande que la branche externe (fig.16). ..... *Dasythemis*
- 32'** Branche interne des hamuli plus petite que la branche externe (fig.15). .....  
..... *Erythrodiplax*
- 33** (30') Lame vulvaire grande, saillante en vue latérale. 10<sup>e</sup> segment abdominal non prolongé ventralement à son extrémité (fig.12). ..... *Erythrodiplax*
- 33'** Lame vulvaire petite, non saillante en vue latérale. 10<sup>e</sup> segment abdominal prolongé ventralement à son extrémité (fig.13). ..... **34**
- 34** (33') Neuf nervures transverses anténodales à l'aile antérieure. Champ anal, à l'aile postérieure, d'un seul rang de cellules. .... *Elga*
- 34'** Dix ou plus de dix nervures transverses anténodales à l'aile antérieure. Champ anal, à l'aile postérieure, d'un ou deux rangs de cellules. .... *Dasythemis*
- 35** (4') Boucle anale ouverte postérieurement et atteignant la marge de l'aile postérieure (fig.7). ..... *Tholymis*
- 35'** Boucle anale fermée postérieurement et n'atteignant pas la marge de l'aile postérieure (fig.1). ..... **36**
- 36** (35') Nervure R3 sinueuse (fig.6). ..... **37**
- 36'** Nervure R3 non sinueuse (fig.1). ..... **41**
- 37** (36) Une seule nervure transverse dans le secteur subnodal. .... **38**
- 37'** Au moins deux nervures transverses dans le secteur subnodal. .... *Libellula*
- 38** (37) Nervure Mspl indistincte ou bien un rang de cellules entre les nervures Mspl et MA (fig.1). ..... **39**
- 38'** Deux ou plus de deux rangs de cellules entre les nervures Mspl et MA (fig.8). ..... *Libellula*
- 39** (38) Nervure R3 très sinueuse. Base de l'aile postérieure très développée (fig.3). Huit ou plus de huit rangs de cellules dans le champ anal. Extrémités du ptérostigma non parallèles (fig.5). ..... *Pantala*
- 39'** Nervure R3 peu sinueuse. Base de l'aile postérieure peu développée (fig.1). Deux à cinq rangs de cellules dans le champ anal. Extrémités du ptérostigma parallèles (fig.1). ..... **40**



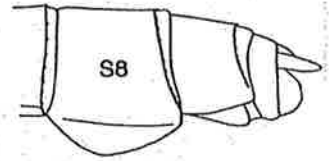
- 40 (39') ♂ : lame antérieure plus courte que le lobe génital (fig.17). ♀ : lame vulvaire aussi longue que le 8<sup>e</sup> segment abdominal et à extrémité bilobée. .... *Dythemis*
- 40' ♂ : lame antérieure plus grande que le lobe génital (fig.18). ♀ : lame vulvaire plus courte que le 8<sup>e</sup> segment abdominal et à extrémité entière. .... *Elasmothemis*
- 41 (36') Nervure CuP, à l'aile postérieure, naissant à l'angle anal de la cellule discoïdale. .... 42
- 41' Nervure CuP, à l'aile postérieure, séparée de l'angle anal de la cellule discoïdale. .... 69
- 42 (41) Cellule discoïdale libre à l'aile antérieure. .... 43
- 42' Cellule discoïdale avec des nervures transverses à l'aile antérieure. .... 49
- 43 (42) Une seule nervure transverse dans le secteur subnodal. .... 44
- 43' Au moins deux nervures transverses dans le secteur subnodal. .... 48
- 44 (43) Lobe postérieur du prothorax non resserré à la base, non dressé, sans frange de longs poils (fig.20). .... 45
- 44' Lobe postérieur du prothorax resserré à la base, dressé, avec une frange de longs poils (fig.19). .... 68
- 45 (44) Nervure Mspl distincte à l'aile antérieure. .... 46
- 45' Nervure Mspl indistincte à l'aile antérieure. .... 47
- 46 (45) Subtriangle, à l'aile antérieure, formé d'une seule cellule. Secteur radial, à l'aile antérieure, non soudé à sa naissance (fig.1). .... *Idiataphe*
- 46' Subtriangle, à l'aile antérieure, formé de deux ou trois cellules. Secteur radial, à l'aile antérieure, soudé à sa naissance (fig.4). .... *Erythrodiplax*
- 47 (45') Nodus, à l'aile antérieure, au-delà du milieu de l'aile. .... *Macrothemis*
- 47' Nodus, à l'aile antérieure, proche du milieu de l'aile. .... *Erythrodiplax*
- 48 (43') Ligne médiane de la boucle anale, à l'aile postérieure, ne présentant pas d'angle, ou bien presque droite (fig.11). Lobe postérieur du prothorax resserré à la base, dressé, avec une frange de longs poils (fig.19). ... *Perithemis*
- 48' Ligne médiane de la boucle anale, à l'aile postérieure, présentant un angle (fig.1). Lobe postérieur du prothorax non resserré à la base, non dressé, sans frange de longs poils (fig.20). .... *Micrathyria*



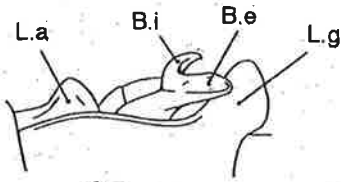
12



13



14



15



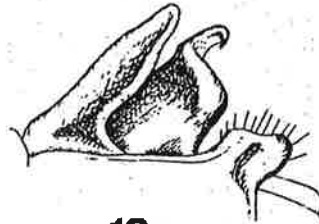
16



19



17



18



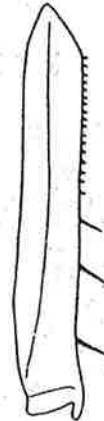
20



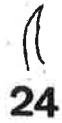
21



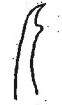
22



23



24



25



26

49 (42') Une seule nervure transverse dans le secteur subnodal. ....	50
49' Au moins deux nervures transverses dans le secteur subnodal. ....	65
50 (49) Arculus, à l'aile antérieure, entre la 1 <sup>ère</sup> et la 2 <sup>e</sup> nervure transverse anténodale. ....	51
50' Arculus, à l'aile antérieure, au niveau ou au-delà de la 2 <sup>e</sup> nervure transverse anténodale. ....	54
51 (50) Lobe postérieur du prothorax resserré à la base, dressé, avec une frange de longs poils (fig.19). ....	52
51' Lobe postérieur du prothorax non resserré à la base, non dressé, sans frange de longs poils (fig.20). ....	57
52 (51) Ligne médiane de la boucle anale, à l'aile postérieure, présentant un angle (fig.1). ....	53
52' Ligne médiane de la boucle anale, à l'aile postérieure, ne présentant pas d'angle, ou bien presque droite (fig.11). ....	<i>Perithemis</i>
53 (52) Secteur radial, à l'aile antérieure, longuement soudé après sa naissance (fig.4). ....	75
53' Secteur radial, à l'aile antérieure, soudé juste à sa naissance (fig.1). ....	<i>Brachymesia</i>
54 (50') Une seule nervure transverse cubito-anale, à l'aile postérieure. ....	55
54' Deux ou plus de deux nervures transverses cubito-anales, à l'aile postérieure. ....	62

**Figures 12 à 26 (ci-contre)**

12. *Erythrodiplax* : extrémité abdominale de la femelle avec lame vulvaire saillante ;  
 13. *Dasythemis* : idem avec lame vulvaire non saillante et 10<sup>e</sup> segment prolongé ;  
 14. *Orthemis* : idem avec expansion foliacée au 8<sup>e</sup> segment ; 15. *Erythrodiplax* : pièces copulatrices du 2<sup>e</sup> segment abdominal du ♂ (L.a : lame antérieure, L.g : lobe génital, B.i : branche interne, B.e : branche externe) ; 16. *Dasythemis* : idem ; 17. *Dythemis* : idem ;  
 18. *Elasmothemis* : idem ; 19 et 20. *Erythrodiplax* : deux formes du lobe postérieur du prothorax ; 21. *Erythemis* : fémur postérieur ; 22. *Erythrodiplax* : idem ; 23. *Rhodopygia* : Idem ; 24. *Oligoclada* : griffe et dent peu distincte ; 25. *Dythemis* : griffe et dent normale ;  
 26. *Macrothemis* : griffe et dent très grosse.

- 55** (54) Lobe postérieur du prothorax resserré à la base, dressé, avec une frange de longs poils (fig.19). ..... **56**
- 55'** Lobe postérieur du prothorax non resserré à la base, non dressé, sans frange de longs poils (fig.20). ..... **58**
- 56** (55) Longueur de l'aile postérieure de 20 à 28 mm. Epines fines et de longueur croissante de la base à l'extrémité des fémurs médian et postérieur (fig.22). ..... *Erythrodiplax*
- 56'** Longueur de l'aile postérieure de 35 à 40 mm. Epines épaisses et courtes à la base des fémurs médian et postérieur, fines et longues à leur extrémité (fig.23). ..... *Rhodopygia*
- 57** (51') Champ postdiscoïdal de quatre rangs de cellules à l'aile antérieure. ....  
..... *Tramea*
- 57'** Champ postdiscoïdal de deux ou trois rangs de cellules à l'aile antérieure. .... **58**
- 58** (55', 57') Champ postdiscoïdal de deux rangs de cellules à l'aile antérieure, sur une longueur minimale de trois cellules. .... *Erythrodiplax*
- 58'** Champ postdiscoïdal de deux rangs de cellules à l'aile antérieure, sur une longueur maximale de une ou deux cellules, ou de trois rangs de cellules. .... **59**
- 59** (58') Extrémités du ptérostigma non parallèles (fig.5). Champ anal, à l'aile postérieure, de cinq rangs de cellules. .... *Tauriphila*
- 59'** Extrémités du ptérostigma parallèles (fig.1). Champ anal, à l'aile postérieure, de trois rangs de cellules. .... **60**
- 60** (59') ♂ : hamuli en deux parties bien distinctes (fig.15). ♀ : lame vulvaire grande, saillante (fig.12), à extrémité entière. .... *Erythrodiplax*
- 60'** ♂ : hamuli en une seule partie (fig.18). ♀ : lame vulvaire petite, non saillante (fig.13), à extrémité bilobée. .... **61**
- 61** (60') ♂ : lame antérieure plus courte que le lobe génital (fig.17). ♀ : lame vulvaire aussi longue que le 8<sup>e</sup> segment abdominal et à extrémité bilobée. ...  
..... *Dythemis*
- 61'** ♂ : lame antérieure plus grande que le lobe génital (fig.18). ♀ : lame vulvaire plus courte que le 8<sup>e</sup> segment abdominal et à extrémité entière.  
..... *Elasmothemis*

- 62** (54') Base de la cellule discoïdale au-delà de l'arculus à l'aile postérieure. Apex des ailes sombre. Lambe vulvaire de la ♀ très longue, dépassant l'extrémité de l'abdomen. .... *Uracis*
- 62'** Base de la cellule discoïdale au niveau de l'arculus à l'aile postérieure. Apex des ailes hyalin. Lambe vulvaire de la ♀ courte, ne dépassant pas l'extrémité de l'abdomen. .... **63**
- 63** (62') ♂ : hamuli en deux parties bien distinctes (fig.15). ♀ : lambe vulvaire grande, saillante (fig.12), à extrémité entière. .... *Erythrodiplax*
- 63'** ♂ : Hamuli en une seule partie (fig.18). ♀ : lambe vulvaire petite, non saillante (fig.13), à extrémité bilobée. .... **64**
- 64** (63') ♂ : lambe antérieure plus courte que le lobe génital (fig.17). ♀ : lambe vulvaire aussi longue que le 8<sup>e</sup> segment abdominal et à extrémité bilobée. .... *Dythemis*
- 64'** ♂ : lambe antérieure plus grande que le lobe génital (fig.18). ♀ : lambe vulvaire plus courte que le 8<sup>e</sup> segment abdominal et à extrémité entière. .... *Elasmothermis*
- 65** (49') Lobe postérieur du prothorax non resserré à la base, non dressé, sans frange de longs poils (fig.20). .... **66**
- 65'** Lobe postérieur du prothorax resserré à la base, dressé, avec une frange de longs poils (fig.19). .... **68**
- 66** (65) Base de la cellule discoïdale au niveau de l'arculus à l'aile postérieure. Apex des ailes hyalin. Lambe vulvaire de la femelle courte, ne dépassant pas l'extrémité de l'abdomen. .... **67**
- 66'** Base de la cellule discoïdale au-delà de l'arculus à l'aile postérieure. Apex des ailes sombre. Lambe vulvaire de la ♀ très longue, dépassant l'extrémité de l'abdomen. .... *Uracis*
- 67** (66) Au moins deux nervures transverses dans le secteur subnodal de chaque aile. .... *Micrathyria*
- 67'** Une seule nervure transverse dans le secteur subnodal d'au moins une aile. .... *Erythrodiplax*
- 68** (27', 44', 65') Ligne médiane de la boucle anale, à l'aile postérieure, ne présentant pas d'angle, ou bien presque droite (fig.11). .... *Perithemis*
- 68'** Ligne médiane de la boucle anale, à l'aile postérieure, présentant un angle (fig.1). .... **84**

- 69 (41') Une seule nervure transverse dans le secteur subnodal. .... 70
- 69' Au moins deux nervures transverses dans le secteur subnodal. .... 82
- 70 (69) Arculus, à l'aile postérieure, entre la 1<sup>ère</sup> et la 2<sup>e</sup> nervure transverse anténodale. .... 71
- 70' Arculus, à l'aile postérieure, au niveau ou au-delà de la 2<sup>e</sup> nervure transverse anténodale. .... 76
- 71 (70) Griffes avec une dent petite et proche de son extrémité, ou bien très petite et peu distincte (fig.24). .... *Oligoclada*
- 71' Griffes avec une dent de taille normale ou plus grosse (figs. 25, 26). .... 72
- 72 (71') Lobe postérieur du prothorax non resserré à la base, non dressé, sans frange de longs poils (fig.20). .... 73
- 72' Lobe postérieur du prothorax resserré à la base, dressé, avec une frange de longs poils (fig.19). .... 74
- 73 (72) Nodus, à l'aile antérieure, au-delà du milieu de l'aile. .... *Macrothemis*
- 73' Nodus, à l'aile antérieure, proche du milieu de l'aile. .... *Erythrodiplax*
- 74 (72') Fourche de la nervure R2 naissant en avant ou sous le tiers proximal du ptérostigma. .... 75
- 74' Fourche de la nervure R2 naissant sous le tiers central du ptérostigma. .... *Brachymesia*
- 75 (53, 74) Fémur postérieur avec des épines petites, égales, suivies de 3 ou 4 grandes épines à son extrémité (fig.21). .... *Erythemis*
- 75' Fémur postérieur avec des épines de longueur croissante de la base à son extrémité, ou bien avec des épines petites suivies d'une seule grande épine à son extrémité (fig.22). .... *Erythrodiplax*
- 76 (70') Griffes avec une dent aussi longue ou plus longue que son extrémité (fig.26). .... *Macrothemis*
- 76' Griffes avec une dent plus courte que son extrémité (fig.25). .... 77
- 77 (76') Nodus, à l'aile antérieure, au-delà du milieu de l'aile. .... 78
- 77' Nodus, à l'aile antérieure, proche du milieu de l'aile. .... 80

- 78** (77) Côté costal de la cellule discoïdale “cassé” à l’aile antérieure (fig.9).  
Champ postdiscoïdal d’un seul rang de cellules à l’aile antérieure. .... *Elga*
- 78’** Côté costal de la cellule discoïdale droit à l’aile antérieure (fig.1). Champ  
postdiscoïdal de trois rangs de cellules à l’aile antérieure. .... **79**
- 79** (78’) ♂ : lame antérieure plus courte que le lobe génital (fig.17). ♀ : lame  
vulvaire aussi longue que le 8<sup>e</sup> segment abdominal et à extrémité bilobée. *Dythemis*
- 79’** ♂ : lame antérieure plus grande que le lobe génital (fig.18). ♀ : lame  
vulvaire plus courte que le 8<sup>e</sup> segment abdominal et à extrémité entière.  
..... *Elasmothermis*
- 80** (77’) Champ postdiscoïdal d’un seul rang de cellules à l’aile antérieure.  
Griffe avec une dent peu distincte (fig.24). .... *Elga*
- 80’** Champ postdiscoïdal de deux rangs de cellules à l’aile antérieure. Griffe  
avec une dent bien distincte (fig.25). .... **81**
- 81**(80’) Champ anal, à l’aile postérieure, d’un seul rang de cellules. .... *Anatya*
- 81’** Champ anal, à l’aile postérieure, de deux ou plus de deux rangs de cellules.  
..... *Erythrodiplax*
- 82** (69’) Champ postdiscoïdal d’un seul rang de cellules à l’aile antérieure.  
..... *Fylgya*
- 82’** Champ postdiscoïdal de deux rangs de cellules à l’aile antérieure. .... **83**
- 83** (82’) Au moins deux nervures transverses dans le secteur subnodal de chaque  
aile. .... *Micrathyria*
- 83’** Une seule nervure transverse dans le secteur subnodal d’une ou deux ailes. .... **84**
- 84** (14, 18’, 28, 68’, 83’) Secteur radial, à l’aile antérieure, longuement soudé  
après sa naissance (fig.4). Hamuli du ♂ en deux parties bien distinctes  
(fig.15). .... *Erythrodiplax*
- 84’** Secteur radial, à l’aile antérieure, soudé juste à sa naissance (fig.1). Hamuli  
du ♂ en une seule partie (fig.18). .... *Brachymesia*

### Travaux cités :

- BORROR D. J., 1945.- A key to the New World genera of Libellulidae (Odonata).- *Ann. Ent. Soc. Am.*, 38 : 168-194.
- DOMMANGET J.L., PAPAZIAN M., 2000.- Liste provisoire des Odonates de Guyane française.- *Martinia*, 16 (3), Annexe II : 138-141.

- DONNELLY T. W., 2000.- Clef d'identification des Odonates de Guadeloupe, Dominique et Martinique.- *Martinia*, 16(3) : 111-121.
- NEEDHAM J.G., WESTFALL M. J., 1955.- A manual of the Dragonflies of North America (Anisoptera). Including the Greater Antilles and the provinces of the Mexican Border. University of California Press, Berkeley, Los Angeles, 615 pages.
- PAPAZIAN M. et DUQUEF M., 2002.- Compte rendu de la mission odonatologique "Duquef 2000" en Guyane française.- *Martinia*, 18 (3) : 113-115.
- WESTFALL M. J. ,1988.- *Elasmothemis* gen. nov. , a new genus related to *Dythemis* (Anisoptera : Libellulidae).- *Odonatologica*, 17 (4) : 419-428.



L'odonatologie en Outre-mer...